

ПАРАМЕТРИЧЕСКИЙ АНАЛИЗ РЕШЕНИЯ СИНГУЛЯРНО ВОЗМУЩЕННОЙ ЗАДАЧИ КОШИ УРАВНЕНИЯ ТЕПЛОПРОВОДНОСТИ С НЕЛИНЕЙНЫМИ ИСТОЧНИКАМИ, ПОЛУЧЕННОГО ПРИ ПОМОЩИ АСИМПТОТИК ПУАНКАРЕ

Проведен параметрический анализ аналитического решения возмущенной задачи Коши, поставленной для одномерного уравнения теплопроводности с нелинейным источником экспоненциального типа в случае, когда начальное распределение представляет сумму двух функций, каждая из которых распределена по гауссовскому закону. Найдены значения параметров, при которых решение представлено в виде "бегающих тепловых волн". Исследован процесс нелинейного взаимодействия "бегающих тепловых волн" и установлен факт зависимости резкого увеличения их амплитуды от ширины "горячих пятен".

E-mail: shurik.kot@gmail.com

Ключевые слова: возмущенная задача Коши, одномерное уравнение теплопроводности, асимптотики Пуанкаре.

Рассмотрим нелинейное сингулярно возмущенное уравнение параболического типа, содержащее нелинейный тепловой источник аррениусовского типа

$$\frac{\partial \Theta}{\partial \tau} = \varepsilon \frac{\partial^2 \Theta}{\partial \xi^2} + \beta \exp \left\{ \frac{\Theta}{1 + \text{Ar} \cdot \Theta} \right\}, \quad (1)$$

$$\Theta(\xi, \tau) = \Theta^0(\xi), \quad \tau = +0, \quad -\infty < \xi < \infty, \quad (2)$$

$$\frac{\partial \Theta(\xi, \tau)}{\partial \xi} \rightarrow 0, \quad \xi \rightarrow \pm \infty, \quad (3)$$

где безразмерные переменные введены по схеме Д.А. Франк-Каменецкого [1]: $\Theta = (T - T_0)E/RT_0^2$ — безразмерный разогрев вещества, ξ и τ — соответственно пространственная и временная безразмерные координаты, $\xi = x/r, \tau = t/t^*$; r и t^* — соответственно пространственный и временной масштабы, $t^* = (c\rho RT_0^2)/(QE k(T_0))$ — адиабатический масштаб времени, $T = T(x, t)$ — температура, T_0 — масштабная температура, R — газовая постоянная, E — энергия активации, c — теплоемкость, ρ — плотность, $\text{Ar} = RT_0/E$ — число Аррениуса, Q — тепловой эффект реакции (в единице объема), $k(T)$ — характерная константа скорости реакции при температуре T :

$k(T) = K_0 \cdot \exp\{-E/RT\}$, K_0 – предэкспоненциальный множитель, $\Theta^0 = (T_H^*(x) - T_0)E/(RT_0^2)$ – безразмерное начальное распределение разогрева вещества, $T_H^*(x)$ – распределение температуры в начальный момент времени, β – безразмерный параметр, введенный для удобства изложения: $\beta = 0$ соответствует “инертной” задаче Коши; $\beta = 1$ соответствует режиму очагового теплового взрыва. Приближенное аналитическое решение задачи (1)–(3) мы представим в виде следующей асимптотики Пуанкаре:

$$\Theta(\xi, \tau) \sim d_0(\xi, \tau) + \varepsilon d_1^0(\xi, \tau), \quad \varepsilon \ll 1, \quad \text{Ar} \ll 1, \quad (4)$$

$$d_0(\xi, \tau) = d_0^{(0)}(\xi, \tau) + \text{Ar} d_0^{(1)}(\xi, \tau) + \text{Ar}^2 d_0^{(2)}(\xi, \tau), \quad (5)$$

$$d_0^{(0)}(\xi, \tau) = -\ln[\exp(-\Theta^0(\xi)) - \beta\tau], \quad (6)$$

$$d_0^{(1)}(\xi, \tau) = (\ln[\exp(-\Theta^0(\xi)) - \beta\tau] - 1)^2 + 1 - \frac{B \exp(-\Theta^0(\xi))}{\exp(-\Theta^0(\xi)) - \beta\tau}, \quad (7)$$

$$d_0^{(2)}(\xi, \tau) = -\ln^3[\exp(-\Theta^0(\xi)) - \beta\tau] + 5 \ln^2[\exp(-\Theta^0(\xi)) - \beta\tau] - 10 \ln[\exp(-\Theta^0(\xi)) - \beta\tau] + 10 - \frac{4\beta\tau}{\exp(-\Theta^0(\xi)) - \beta\tau} - \frac{4B \exp(-\Theta^0(\xi)) \ln[\exp(-\Theta^0(\xi)) - \beta\tau]}{\exp(-\Theta^0(\xi)) - \beta\tau} - \frac{B^2 \exp(-2\Theta^0(\xi))}{[\exp(-\Theta^0(\xi)) - \beta\tau]^2} + \frac{\{-[\Theta^0(\xi)]^3 - 5[\Theta^0(\xi)]^2 - 10\Theta^0(\xi) - 10 - 4B\Theta^0(\xi) + B^2\} \exp(-\Theta^0(\xi))}{\exp(-\Theta^0(\xi)) - \beta\tau}, \quad (8)$$

где

$$B = 1 + [\Theta^0(\xi) + 1]^2; \quad (9)$$

$$d_1^{(0)}(\xi, \tau) = \frac{1}{\exp(-\Theta^0(\xi)) - \beta\tau} \times \left\{ \tau \exp(-\Theta^0(\xi)) \{(\Theta^0(\xi))''' - [(\Theta^0(\xi))']^2\} - \frac{\Theta^0(\xi)[(\Theta^0(\xi))']^2}{\beta} \exp\{-2\Theta^0(\xi)\} - \frac{[\Theta^0(\xi)]^2 \exp(-2\Theta^0(\xi))}{\beta} \right\} \times \ln[\exp(-\Theta^0(\xi)) - \beta\tau]. \quad (10)$$

Способ получения аналитических соотношений (4)–(10) изложен в работе [2].

Формулы (4)–(10) позволяют провести аналитический параметрический анализ свойств решения $\Theta(\tau, \xi)$ задачи Коши (1)–(3).

Начальное распределение $\Theta_0(\xi)$ задается согласно формуле:

$$\Theta^0(\xi) = \frac{[T_H(\xi \cdot r) - T_0]E}{RT_0^2}, \quad (11)$$

$$T_H(x) = \exp \left\{ - \left(\frac{x - a}{w} \right)^2 \right\} + \exp \left\{ - \left(\frac{x + a}{w} \right)^2 \right\}. \quad (12)$$

В соотношении (12) через a обозначен параметр, задающий расстояние между “горячими пятнами”, а через w – параметр, моделирующий ширину “горячих пятен”. Значения остальных параметров таковы: $Ar = 0,03$, $\beta = 1$, $\varepsilon = 10^{-3}$.

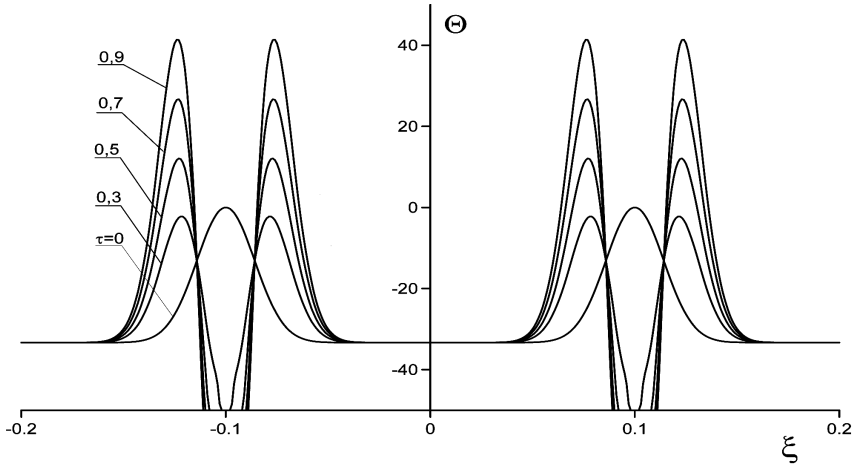


Рис. 1. Зависимость безразмерного разогрева Θ от безразмерной координаты ξ при $Ar = 0,03$, $\varepsilon = 0,001$, $\beta = 1$, $w = 0,2$, $a = 0,1$ и различных значениях безразмерного времени τ

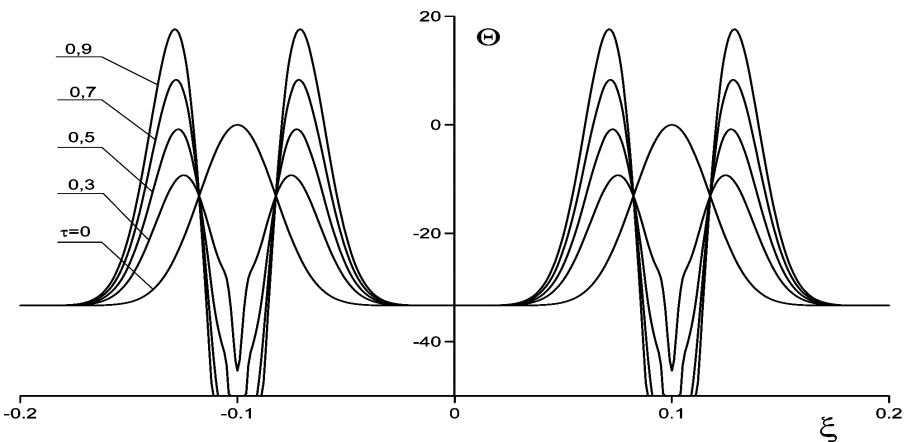


Рис. 2. Зависимость безразмерного разогрева Θ от безразмерной координаты ξ при $Ar = 0,03$, $\varepsilon = 0,001$, $\beta = 1$, $w = 0,25$, $a = 0,1$ и различных значениях безразмерного времени τ

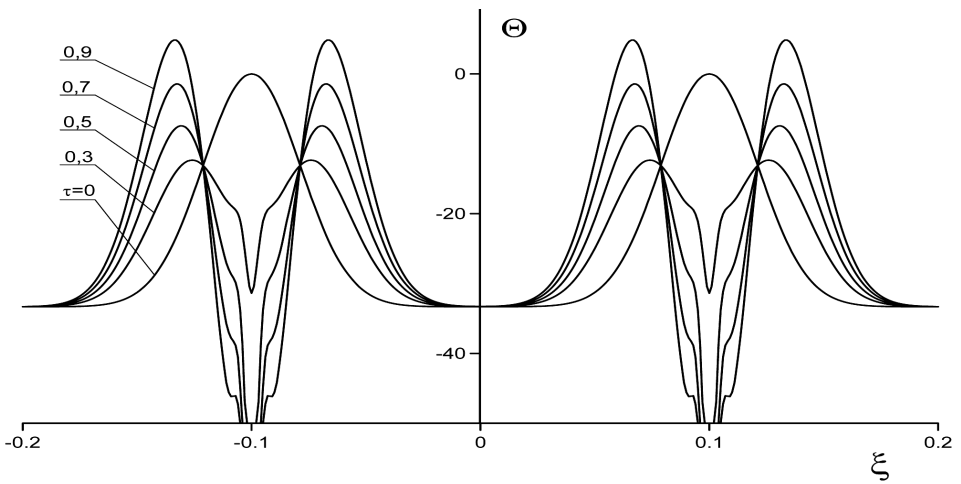


Рис. 3. Зависимость безразмерного разогрева Θ от безразмерной координаты ξ при $Ar = 0,03$, $\varepsilon = 0,001$, $\beta = 1$, $w = 0,3$, $a = 0,1$ и различных значениях безразмерного времени τ

На графиках, приведенных на рис. 1–3 представлены невзаимодействующие бегущие волны ($a = 0, 1$) при различных значениях ширины “горячих пятен” w ($w = 0,2; 0,25; 0,3$). Из графиков видно, что каждый из “пиков” $\Theta^0(\xi)$ с течением времени распадается на две симметричные “короткоживущие бегущие волны” с изменяющейся во времени амплитудой; причем одна из “бегущих волн” движется в сторону $+\infty$, а другая — в сторону $-\infty$. Любопытно отметить, что при указанном выше наборе параметров амплитуды “бегущих волн” сначала уменьшаются от нуля до примерно -2 при $w = 0,2$, примерно -9 при $w = 0,25$ и примерно -12 при $w = 0,3$, а затем возрастают до значений, близких к 41 при $w = 0,2$, близких к 17 при $w = 0,25$ и 5 при $w = 0,3$ [3, 4]. Таким образом, с увеличением ширины w “горячих пятен” уменьшение амплитуды становится больше, а ее дальнейшее увеличение становится меньше. Из графиков на рис. 1–3 следует, что расстояние $a = 0,1$ между первоначальными “пиками” функции $\Theta^0(\xi)$ является слишком большим для того, чтобы бегущие к началу координат (и, значит, навстречу друг другу) две “короткоживущие бегущие волны” смогли взаимодействовать друг с другом.

На графиках, представленных на рис. 4–6 показан наибольший эффект нелинейного взаимодействия “короткоживущих бегущих волн” для каждого из рассматриваемых значений ширины “горячих пятен” w . Примечательным является тот факт, что при всех значениях w итоговая амплитуда “наложенных короткоживущих волн” в несколько раз превышает первоначальные амплитуды двух “короткоживущих бегущих волн”, которые двигались навстречу друг другу [3, 4]. Однако интересно отметить, что увеличение ширины w “горячих пятен” приводит к более значительному нелинейному усилению амплитуд. Так

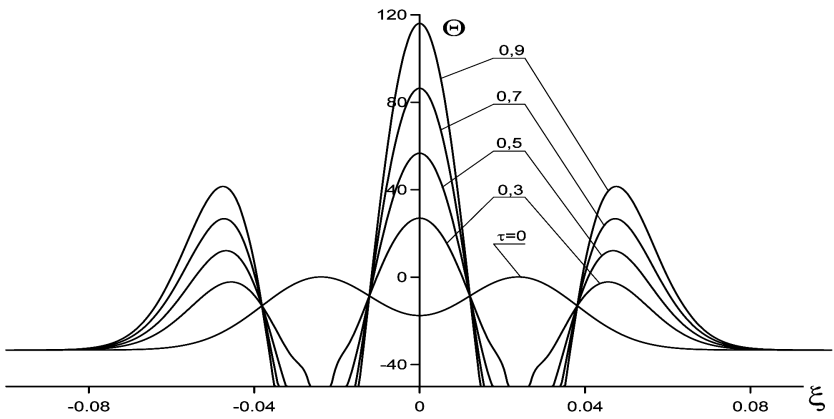


Рис. 4. Зависимость безразмерного разогрева Θ от безразмерной координаты ξ при $Ar = 0,03$, $\varepsilon = 0,001$, $\beta = 1$, $w = 0,2$, $a = 0,024$ и различных значениях безразмерного времени τ

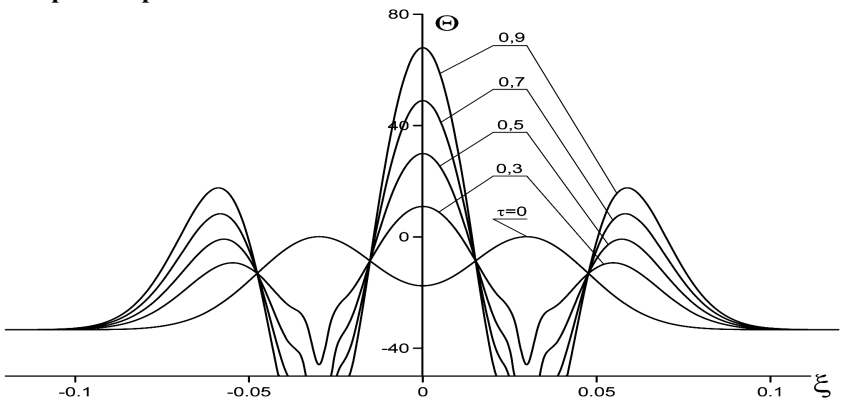


Рис. 5. Зависимость безразмерного разогрева Θ от безразмерной координаты ξ при $Ar = 0,03$, $\varepsilon = 0,001$, $\beta = 1$, $w = 0,25$, $a = 0,03$ и различных значениях безразмерного времени τ

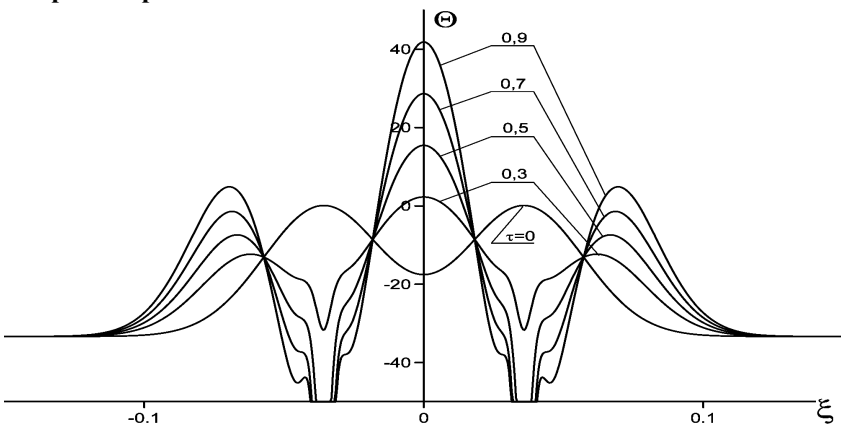


Рис. 6. Зависимость безразмерного разогрева Θ от безразмерной координаты ξ при $Ar = 0,03$, $\varepsilon = 0,001$, $\beta = 1$, $w = 0,3$, $a = 0,036$ и различных значениях безразмерного времени τ

при $w = 0,2$ итоговая амплитуда “наложенных короткоживущих волн” достигает значения около 116 (усиление в 2,8 раза), при $w = 0,25$ — примерно 68 (усиление в 4 раза), а при $w = 0,3$ — около 42 (усиление в 8,4 раза).

СПИСОК ЛИТЕРАТУРЫ

1. Франк-Каменецкий Д. А. Диффузия и теплопередача в химической кинетике. М.: Наука, 1967. 427 с.
2. Котович А. В., Несененко Г. А. Математическая теория очагового теплового взрыва. Параметрический анализ очаговых режимов теплового взрыва “геометро-оптическим” асимптотическим методом // Математические методы исследования сложных систем, процессов и структур. М.: МГОПУ, 1999. Вып. 2. С. 21–90.
3. Котович А. В., Несененко Г. А. Аналитическое решение полулинейного уравнения теплопроводности: нелинейные эффекты бегущих тепловых волн // Математические методы исследования сложных систем, процессов и структур. М.: МГОПУ, 2000. Вып. 4. С. 25–59.
4. Кравченко В. Ф., Несененко Г. А., Пустовойт В. И. Асимптотики Пуанкаре решений задач нерегулярного тепло- и массопереноса. М.: Физматлит, 2006. 420 с.

Статья поступила в редакцию 27.07.2012